

41
ИНСТИТУТ ЯДЕРНОЙ ФИЗИКИ
СО АН СССР

В.Н.Байер, А.Г.Грозин

**РАСПРЕДЕЛЕНИЕ НАИБЫСТРЕЙШИХ
ПАРТОНОВ И АНДРОНОВ
В АДРОННОЙ СТРУЕ**

ПРЕПРИНТ ИЯФ 79 - 57

Новосибирск

РАСПРЕДЕЛЕНИЕ НАИБЫСТРЕЙШИХ ПАРТОНОВ И АДРОНОВ
В АДРОННОЙ СТРУЕ

В.Н.Байер, А.Г.Грозин

АННОТАЦИЯ

В главном логарифмическом приближении в квантовой хромо-
динамике вычислены распределения наибоыстрых в струе парто-
нов и обсуждается их связь с распределением наибоыстрых ад-
ронов.

Партонная модель ядра... (faint text describing the parton model and its application to the distribution of fast partons in a hadron jet).

При рассмотрении... (faint text discussing the logarithmic approximation and the relationship between parton and hadron distributions).

Выводы... (faint text summarizing the results of the calculations).

Образование струй адронов при взаимодействии частиц высокой энергии является одним из важных предсказаний партонной модели. В последнее время начали обсуждаться различные типы распределений адронов в струях и возможность их теоретического описания /1-3/. Согласно представлениям партонной модели (в частности, в рамках главного логарифмического приближения (ГЛП) квантовой хромодинамики (КХД)), наблюдаемые распределения адронов в определенной степени несут отпечаток исходных партонных распределений, возникающих при развитии партонного каскада при больших передачах импульса (по сравнению с характерным импульсом удержания $\mu \sim 300$ МэВ/с), где применима расчетная схема модели. В данной работе в рамках ГЛП рассмотрено распределение наиболее быстрых партонных (и адронных) в струе.

В партонной модели радиус корреляции партонных по шкале быстрой имеет порядок 1, т.е. взаимодействуют лишь партон с конечным относительным импульсом. Тогда наиболее быстрый в струе адрон может образовываться только из наиболее быстрого партона и тех партонных, которые лежат в интервале порядка 1 левее него по шкале быстрой. В силу этого, распределение наиболее быстрых адронных в струе должно примерно совпадать с распределением наиболее быстрых партонных, отличаясь от него сдвигом (в меньшую сторону) на величину порядка 1 и размазкой по интервалу такой же величины.

При использовании ГЛП в КХД область шкалы быстрой, занятая наиболее быстрыми партонными, логарифмически растет с энергией (вследствие нарушения скейлинга, в отличие от ортодоксальной партонной модели, см. например, /1/). Поэтому при асимптотически больших энергиях, когда указанный логарифм существенно превышает 1, можно получить распределение наиболее быстрых адронных непосредственно из КХД. Однако изучаемая сейчас область энергий еще далека от асимптотической. Тем не менее, сравнивая наблюдаемое распределение с предсказаниями модели для наиболее быстрых партонных, можно получить информацию о процессе фрагментации партонных в адроны.

Вычислим распределение наиболее быстрых партонных в рамках ГЛП в КХД. Введем обозначения: пусть x обозначает долю продольного импульса, несомую партонном; $\mathcal{D}_n(x_1, \dots, x_n) = n -$

частичную функцию распределения партонов, симметричную по всем аргументам и обращающуюся в 0, если $\sum_i \alpha_i > 1$. Индексы, связанные с сортом партонов, будем опускать - интегрирование по x будет означать также суммирование по соответствующим индексам. Ясно, что при $x > 1/2$ распределение наиболее быстрых партонов совпадает с полным распределением партонов, т.к. любой партон с $x > 1/2$ автоматически наиболее быстрый, и дается функцией $\mathcal{D}_1(x)$. При $1/3 < x < 1/2$ правее выделенного партона в точке x может оказаться один партон, и мы должны вычесть вероятность этого события, равную $\int_x^1 \mathcal{D}_2(x, y_1) dy_1$. При $1/4 < x < 1/3$ правее выделенного партона в точке x может оказаться не только один, но и два партона. Мы уже вычли вероятность и этого события, но умноженную на 2, теперь её следует добавить, она равна $\frac{1}{2} \int_x^1 dy_1 \int_x^{y_1} dy_2 \mathcal{D}_3(x, y_1, y_2)$. Продолжая такие рассуждения, мы получаем формулу для распределения наиболее быстрых партонов, справедливую при любых x :

$$Q(x) = \sum_{n=0}^{\infty} \frac{(-1)^n}{n!} \int_x^1 dy_1 \dots \int_x^{y_{n-1}} dy_n \mathcal{D}_{n+1}(x, y_1, \dots, y_n) \quad (1)$$

Убедимся в справедливости результата. Конфигурация с m партонами правее выделенного дает вклад в n -ый интеграл, равный $\binom{m}{n} x^n$ (вероятность такой конфигурации). Поскольку $\sum_n (-1)^n \binom{m}{n} = \delta_{m0}$, то вклад в сумму дают только конфигурации, когда партон в точке x является наиболее быстрым. Функция $Q(x)$ имеет нарушения аналитичности во всех точках $x = 1/n$. Это связано с тем, что когда мы находимся справа от точки x , то правее выделенного партона могут быть не более $n-2$ партонов, а когда находимся слева, то не более $n-1$, т.е. в точке $x = 1/n$ включается n -ый член суммы.

Функции \mathcal{D}_n находятся при решении уравнений баланса партонов (см. /2/):

$$\frac{d\mathcal{D}_n(x_1, \dots, x_n; t)}{dt} = \sum_i \int_y^L \frac{dy}{y} \Phi\left(\frac{x_i}{y}\right) \mathcal{D}_n(y, x_1, \dots, x_{i-1}, x_{i+1}, \dots, x_n; t) \quad (2)$$

$$+ \sum_{i < j} \Phi\left(\frac{x_i}{x_i + x_j}\right) \mathcal{D}_{n-1}(x_i + x_j, x_1, \dots, x_{i-1}, x_{i+1}, \dots, x_{j-1}, x_{j+1}, \dots, x_n; t)$$

4

где $t = \frac{1}{\beta_2} \ln \frac{\alpha_s(\mu^2)}{\alpha_s(q^2)}$, $\beta_2 = \frac{11}{3}N - \frac{2}{3}n_f$ для цветовой группы $SU(N)$ и n_f ароматов кварков, $\alpha_s(q^2)$ - константа связи, q^2 - квадрат исходной передачи импульса, $q^2 = 4E^2$ для случая электрон-позитронной аннигиляции, E - энергия каждой из начальных частиц; $\Phi(x)$ - регуляризованные ядра (см. /2, 4/):

$$\Phi_q^q(x) = 2C_2 \left[\frac{1+x^2}{(1-x)_+} + \frac{3}{2} \delta(1-x) \right],$$

$$\Phi_q^g(x) = 2C_2 \frac{1+(1-x)^2}{x}, \quad \Phi_g^g(x) = x^2 + (1-x)^2,$$

$$\Phi_g^q(x) = 4N \left[\frac{x}{(1-x)_+} + \frac{1-x}{x} + x(1-x) + \left(\frac{11}{12} - \frac{n_f}{6C_2} \right) \delta(1-x) \right]$$

здесь индекс q означает кварк, индекс g - глюон, ядро Φ_{AB}^B описывает переход $A \rightarrow B$, обобщенная функция $(\frac{1}{1-x})_+$ определена так, что $\int dx \frac{f(x)}{(1-x)_+} = \int dx \frac{f(x) - f(1)}{1-x}$, $C_2 = \frac{N^2 - 1}{2N}$ как уже отмечалось, \mathcal{D}_n представляет столбец, каждая компонента которого описывает определенный сорт партонов.

Уравнения (2) могут быть решены с помощью преобразования Лапласа по t и $u = -\ln x$ (см. /3/), в итоге имеем

$$\mathcal{D}_n(l_1, \dots, l_n; \nu) = \frac{\sum \Phi(l_i, l_j) \mathcal{D}_{n-1}(l_i + l_j - 1, l_2, \dots, l_{i-1}, l_{i+1}, \dots, l_{j-1}, l_{j+1}, \dots, l_n; \nu)}{\nu - \Phi(l_1) - \dots - \Phi(l_n)}$$

где

$$\Phi(l_1, l_2) = \int_0^1 dx x^{l_1-1} (1-x)^{l_2-1} \Phi(x), \quad \Phi(l) = \int_0^1 dx x^{l-1} \Phi(x)$$

После преобразования Лапласа уравнение (1) приобретает вид:

$$Q(l) = \sum \frac{(-1)^n}{n!} \int \frac{dy_1}{2\pi i} \dots \int \frac{dy_n}{2\pi i} \frac{\mathcal{D}_{n+1}(l - j_1 - \dots - j_n, j_1 + 1, \dots, j_n + 1; \nu)}{j_1 j_2 \dots j_n} \quad (4)$$

Из выражений (4) и (3) видно, что сложность формул стремительно нарастает с уменьшением x . Поэтому разумным способом получения количественных результатов является монтекарловское моделирова-

ние процесса распада. Оно дает возможность определить характеристики струй, зависящие от многопартонных корреляций, такие, как распределение наиболее быстрых партонов, не вычисляя много-частичных функций распределения.

На рис. 1 показаны результаты моделирования для энергии $E = 20$ ГэВ, при $n_f = 4$, $N = 3$. Накоплено статистика 2226 событий. Рассматривалась кварковая струя, возникшая при e^-e^+ аннигиляции. Полагалось, что с и \bar{s} кварки выпадают из каскада при виртуальности порядка m_c^2 , а остальные партоны продолжают распадаться до характерных виртуальностей μ^2 . Видно, что распределение наиболее быстрых с кварков несколько сдвинуто вправо по сравнению с распределением наиболее быстрых легких кварков. Это связано с тем, что они раньше выпадают из каскада. Логарифмическое расширение распределения по скорости, о котором говорилось выше, при рассматриваемой энергии еще не проявляется.

Чтобы получить правдоподобные распределения наиболее быстрых мезонов при реальных энергиях, нужна модель фрагментации. Используя идеологию мягкого обесцвечивания (см. /2/), можно ввести функцию $\omega(x)$ распределения наиболее быстрых адронов, полученных при фрагментации данного партона. Ширина этого распределения по шкале быстрой порядка 1, она и определяет размазку при фрагментации. При $x > 1/2$ распределение наиболее быстрых адронов совпадает с полным, а его асимптотика при $x \rightarrow 1$ ведет себя как $\text{const} (1-x)^2$. При $x < 1/2$ функция $\omega(x)$ должна быстро убывать. В силу сказанного использовалась функция $\omega(x) = 24 (1-x)^2 \mathcal{J}(x - 1/2)$. Полученные результаты приведены на рис. 2. Предполагая также, что наиболее быстрой частицей, образовавшейся при фрагментации с или \bar{s} кварка, является очарованный мезон, при той же функции $\omega(x)$ получаем распределения наиболее быстрых обычных и очарованных мезонов, также приведенные на рис. 2. Распределение наиболее быстрых очарованных мезонов несколько сдвинуто вправо по сравнению с распределением наиболее быстрых обычных мезонов. Это качественное предсказание не зависит от рассмотренной конкретной модели и вытекает из аналогичного факта для с кварков в предполо-

жении, что механизм их фрагментации не отличается существенно от механизма для легких кварков. Этот результат специфичен для КХД, для ортодоксальной партоновой модели (см. /1/) эти распределения совпадали бы.

Интересно сравнить наши результаты с предсказаниями /1/. Среднее значение \bar{x} для распределения наиболее быстрых мезонов (см. рис. 2) логарифмически смещается влево с ростом энергии, тогда как в /1/ оно фиксировано. В области доступных (или планируемых) энергий $\bar{x}(E = 20 \text{ ГэВ}) = 0,41$, $\bar{x}(E = 50 \text{ ГэВ}) = 0,39$ и в /1/ $\bar{x} = 0,39$. Однако форма кривой распределения здесь и в /1/ различна. В /1/ правый хвост кривой распределения лежит существенно выше, чем на рис. 2. В основном это связано с другой формой функции фрагментации, которая в /1/ не обращается в нуль при $x = 1$. Вследствие этого различны также ширины на полувысоте: здесь 0,43 и в /1/ = 0,24. Если ГЛП в КХД является адекватным аппаратом для описания струй, то единственным гипотетическим элементом в данной работе была функция $\omega(x)$. Следовательно, сравнивая результат расчета с экспериментом, мы получаем информацию об этой функции, описывающей фрагментацию партонов в адроны.

Л и т е р а т у р а

1. R.D.Field, R.P.Feynman. Nucl. Physics B136, 1 (1978).
2. Ю.Л.Докшицер, Д.И.Дьяконов. Материалы XIV зимней школы ЛЯФ. Ленинград (1979).
3. K.Konishi, A.Ukawa, G.Veneziano. Phys. Letters B78, 243 (1978).
4. G.Altarelli, G.Parisi. Nucl. Phys. B126, 298 (1977).

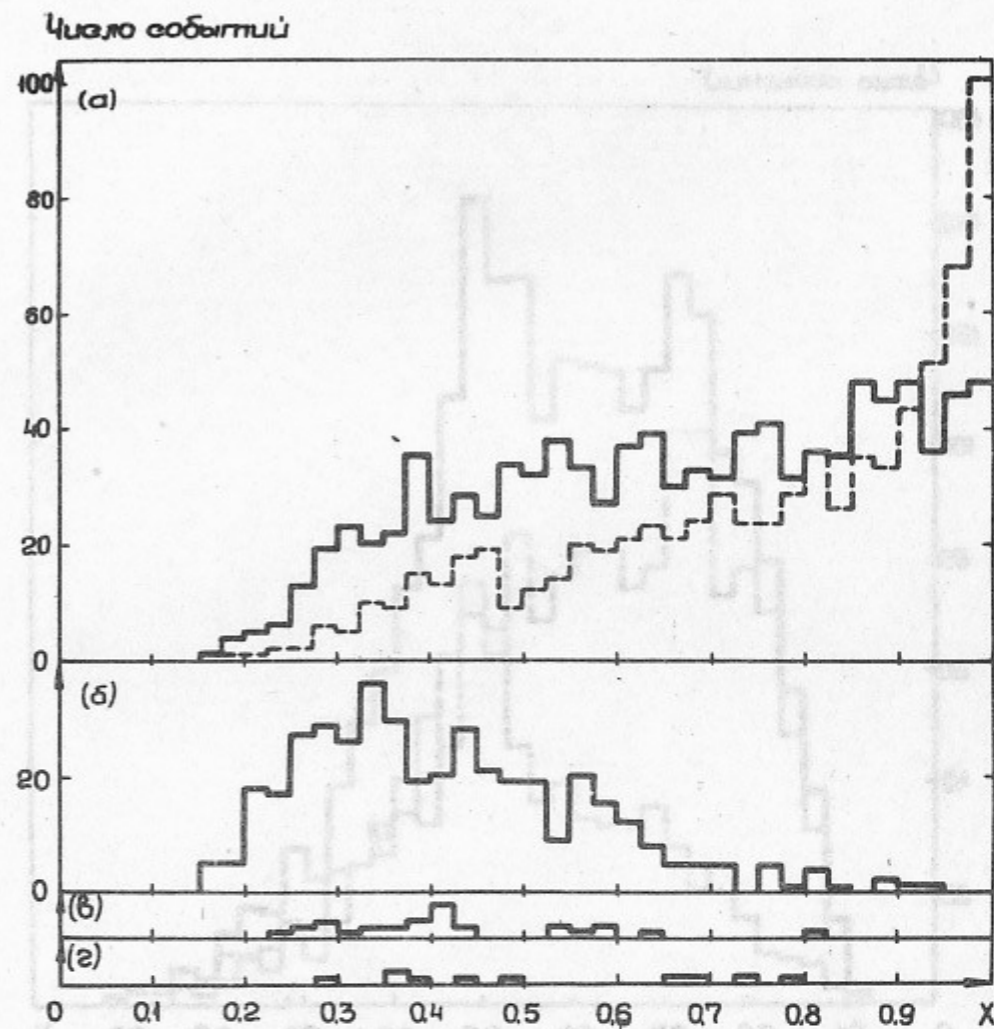


Рис.1. Распределения наиболее быстрых партонов (разыграно 2226 событий)

- (а) Сплошная линия — легкие кварки, количество $n = 1013$, среднее значение $\bar{x} = 0,67$, среднее квадратичное отклонение $\sigma_x = 0,21$. Штриховая линия — очарованные кварки c ; $n = 762$, $\bar{x} = 0,76$, $\sigma_x = 0,20$.
- (б) Глюоны; $n = 412$, $\bar{x} = 0,42$, $\sigma_x = 0,15$.
- (в) Легкие антикварки; $n = 29$, $\bar{x} = 0,42$, $\sigma_x = 0,13$.
- (г) Антикварки \bar{c} ; $n = 10$, $\bar{x} = 0,52$, $\sigma_x = 0,17$.

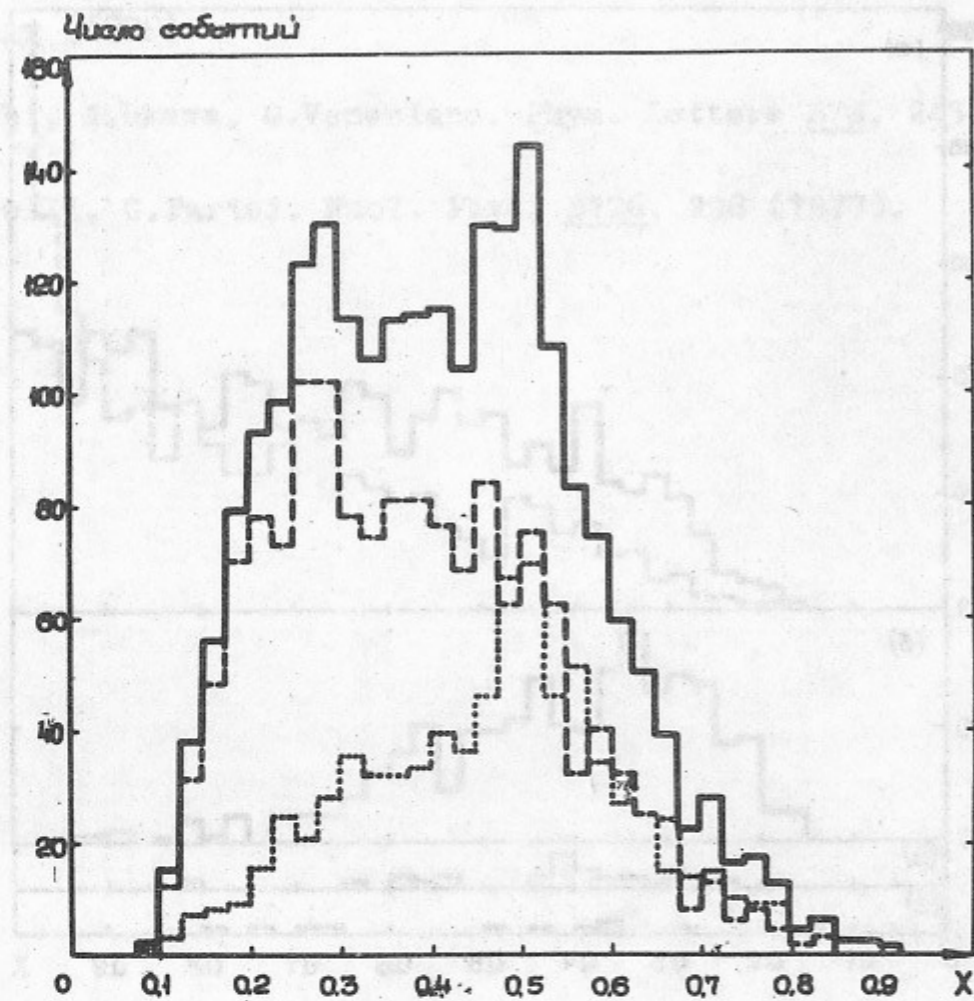


Рис.2. Распределения наибо́льших мезонов. Сплошная линия - суммарное распределение; $n = 2226$, $\bar{x} = 0,41$, $\sigma_x = 0,16$. Штриховая линия - вклад всех мезонов, кроме очарованных; $n = 1456$, $\bar{x} = 0,38$, $\sigma_x = 0,15$. Пунктирная линия - вклад очарованных мезонов $n = 710$, $\bar{x} = 0,47$, $\sigma_x = 0,15$.

Работа поступила - 27 июня 1979 г.

Ответственный за выпуск - С.Г.ПОПОВ
 Подписано к печати 12.07.1979 г. МН 00560
 Усл. 0,5 печ.л., 0,4 учетно-изд.л.
 Тираж 200 экз. Бесплатно
 Заказ № 57

Отпечатано на ротапинтере ИЯФ СО АН СССР